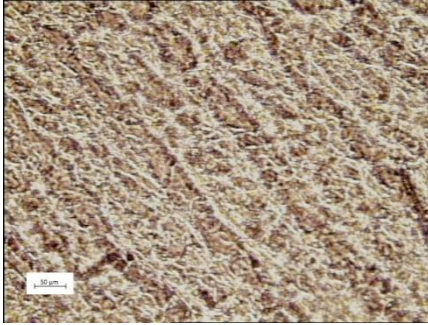


ANEXO A

Microscopio óptico aumento 20X

S-0

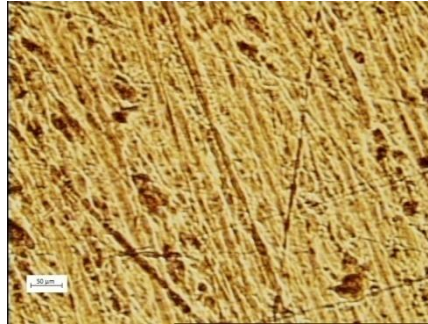


S-14

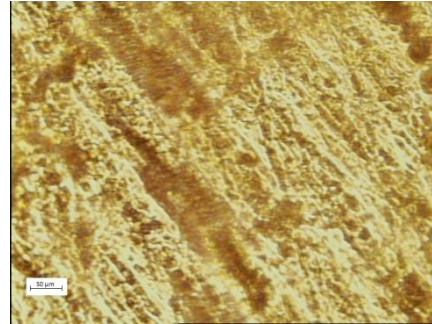
S-41

S-73

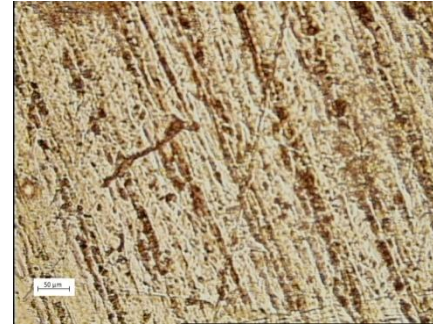
PVA-0



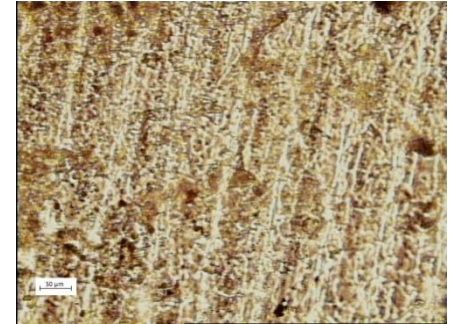
PVA-14



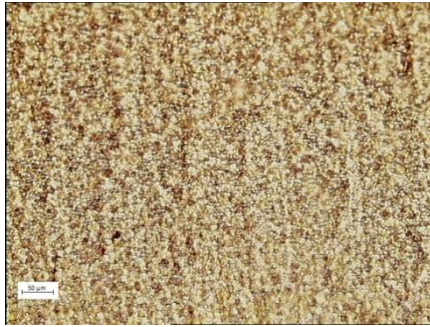
PVA-41



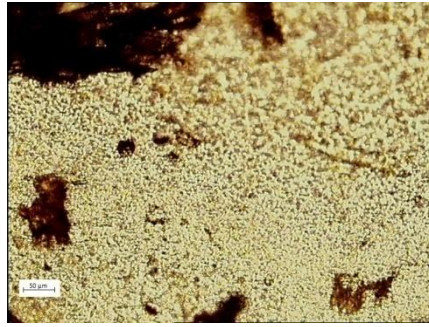
PVA-73



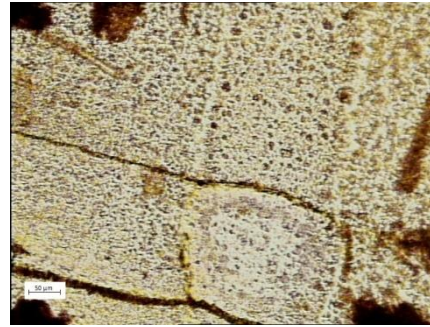
M-0



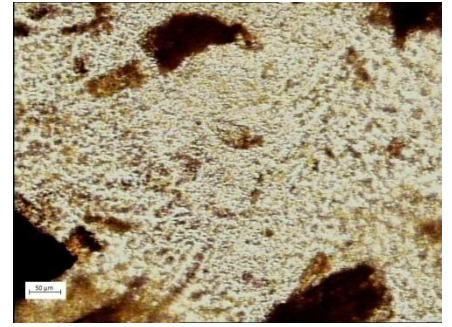
M-14



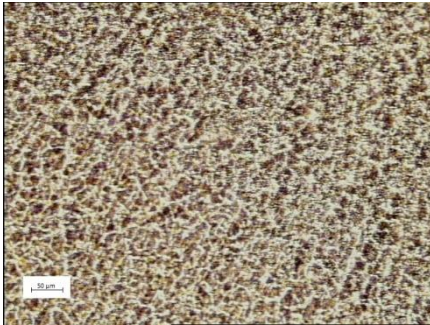
M-41



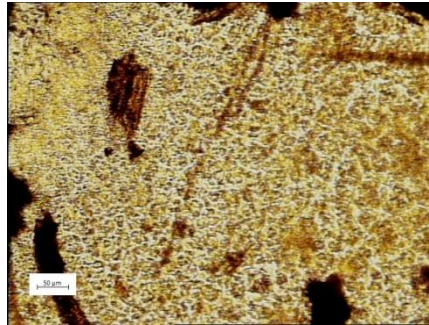
M-73



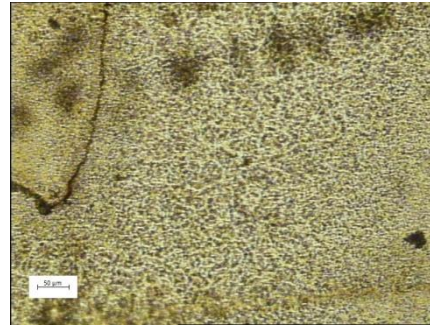
M-0



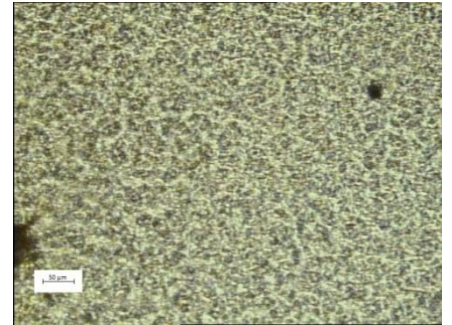
M-14



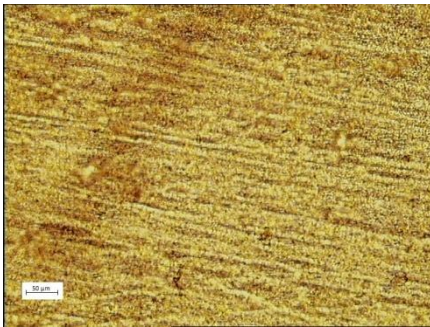
M-41



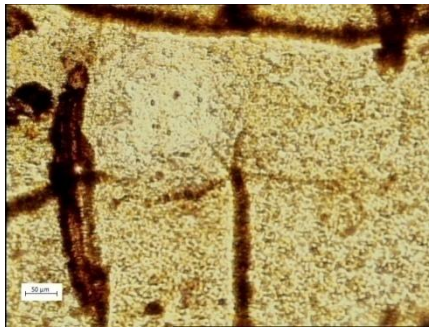
M-73



M-1N-0



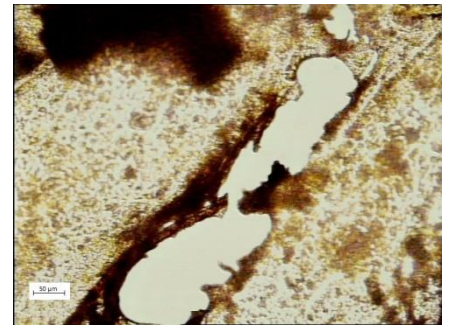
M-1N-14



M-1N-41



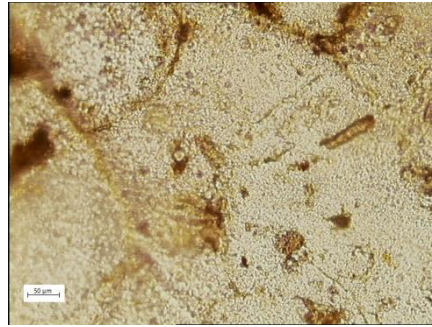
M-1N-73



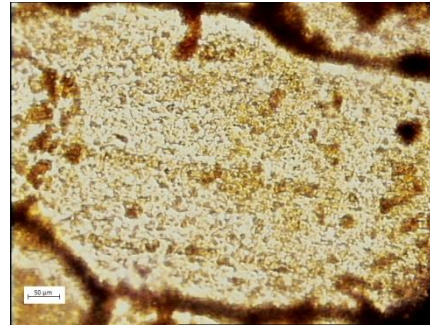
M-2N-0



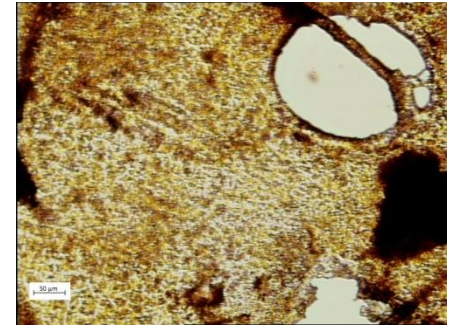
M-2N-14



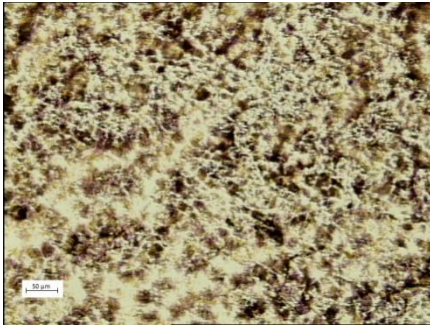
M-2N-41



M-2N-73



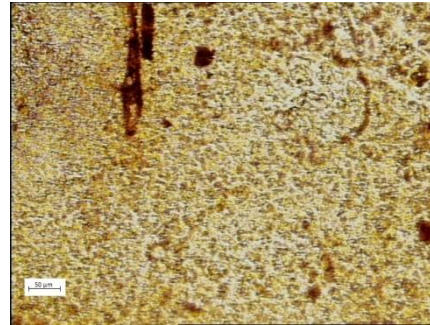
M-10-0



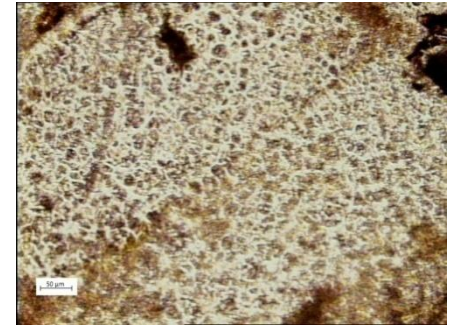
M-10-14



M-10-41



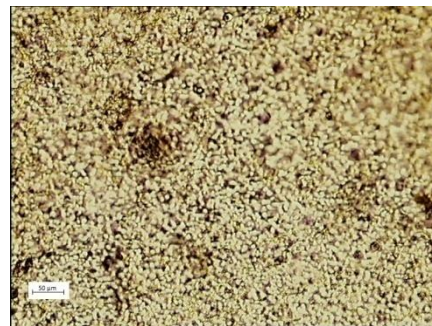
M-10-73



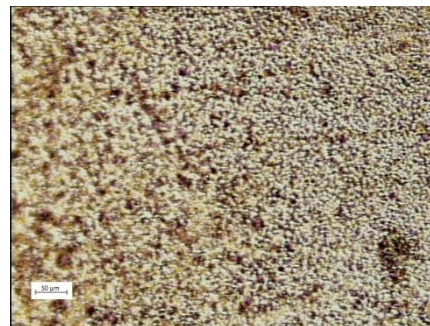
M-20-0



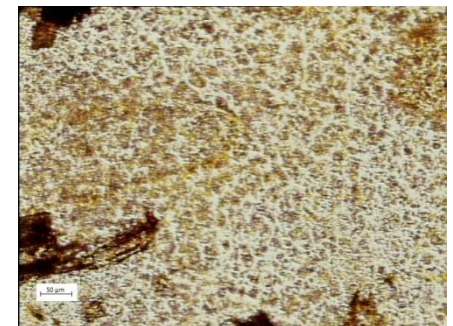
M-20-14



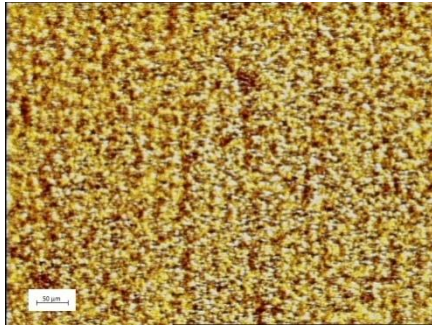
M-20-41



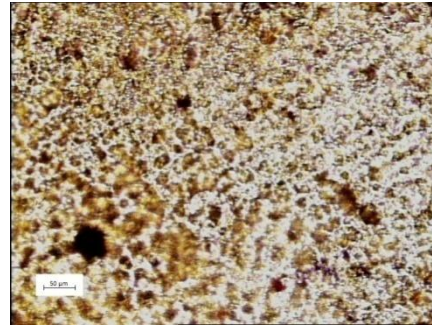
M-20-73



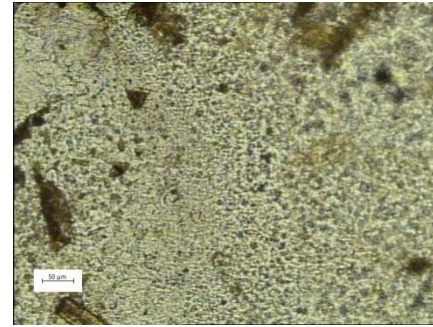
M-1 Ag-0



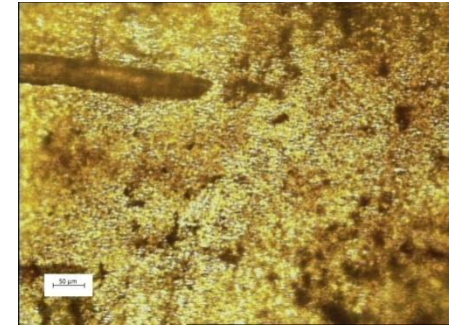
M-1 Ag-14



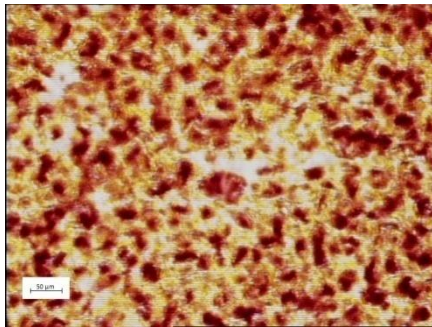
M-1 Ag-41



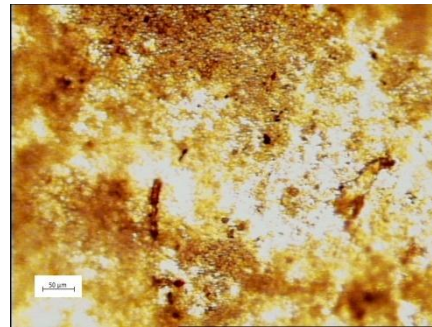
M-1 Ag-73



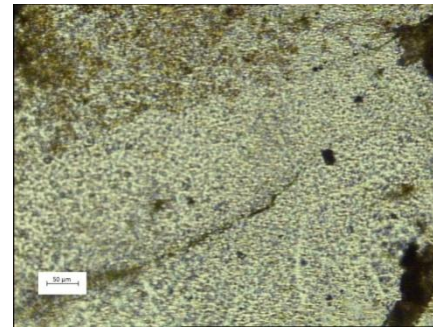
M-2 Ag-0



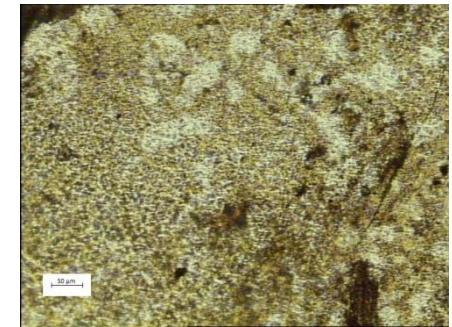
M-2 Ag-14



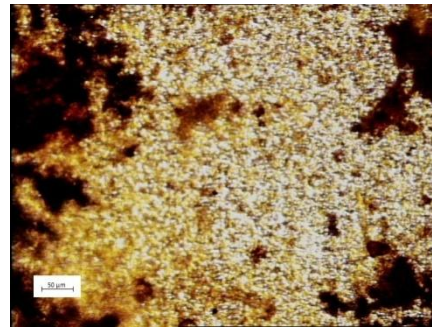
M-2 Ag-41



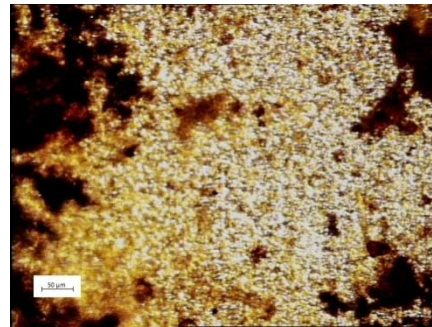
M-2 Ag-73



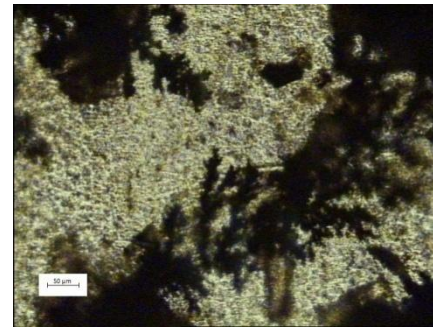
M-3 Ag-0



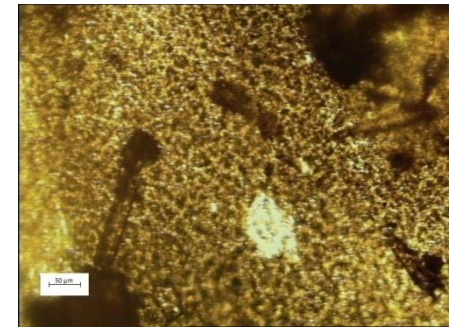
M-3 Ag-14



M-3 Ag-41



M-3 Ag-73

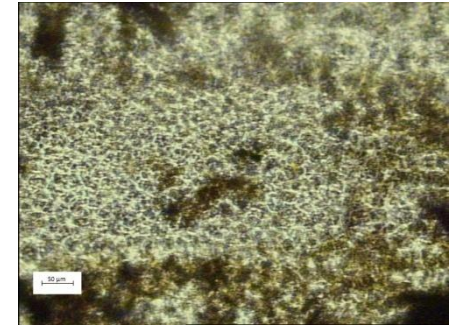
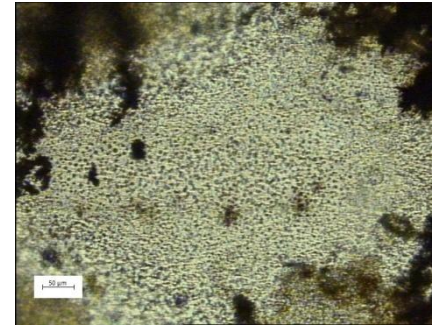
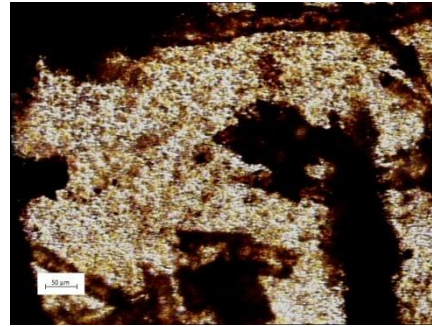


M-4 Ag-0

M-4 Ag-14

M-4 Ag-41

M-4 Ag-73



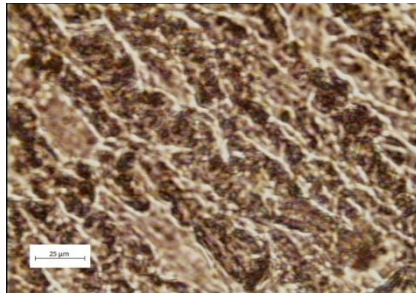
Microscopio óptico aumento 63X

S-0

S-14

S-41

S-73

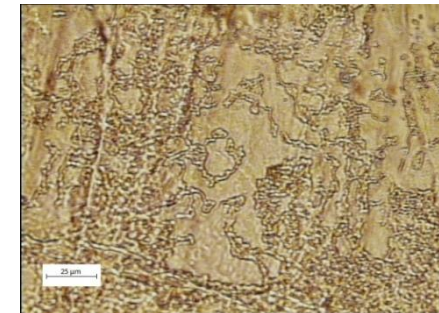
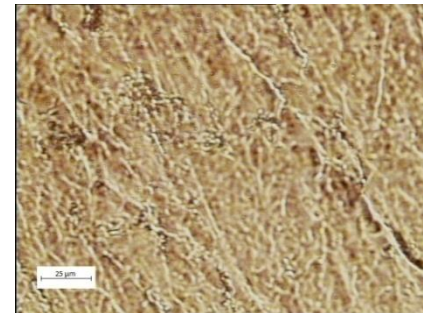
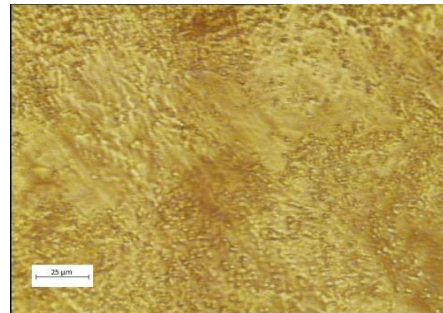
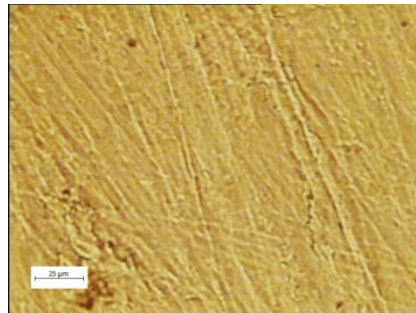


PVA-0

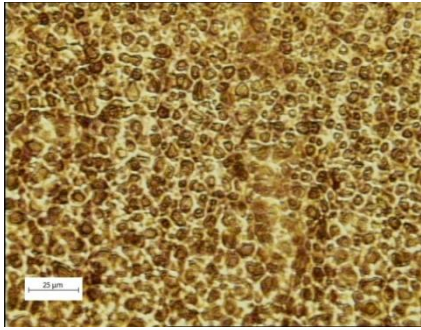
PVA-14

PVA-41

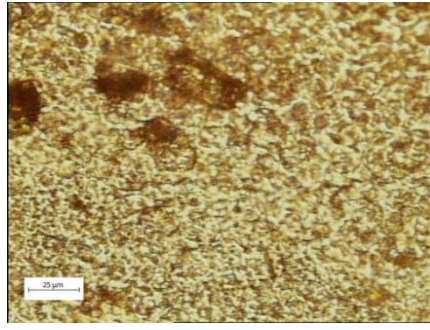
PVA-73



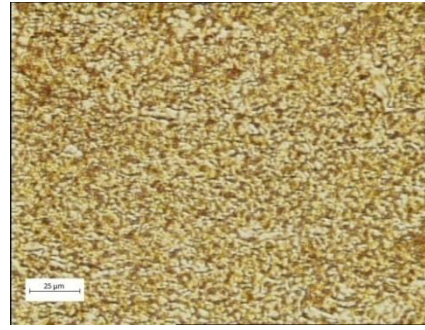
M-0



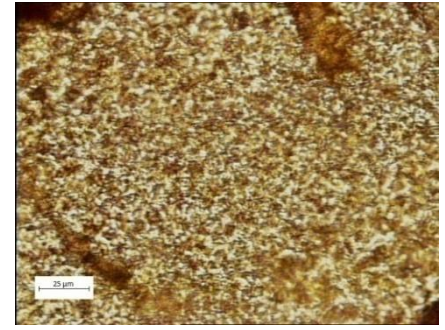
M-14



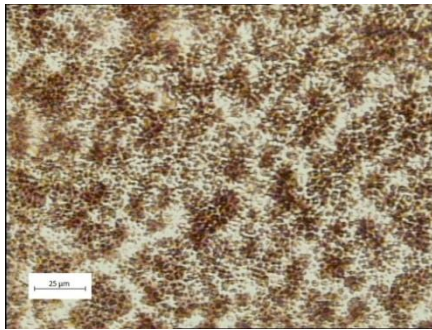
M-41



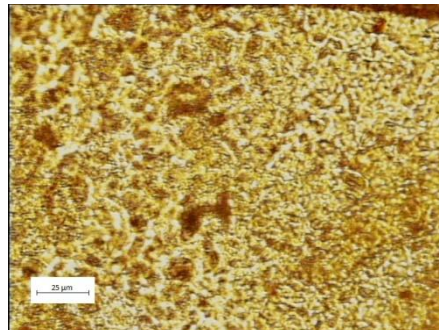
M-73



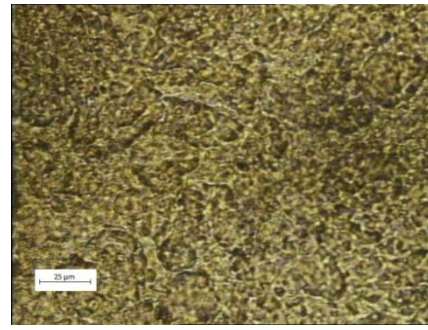
M-0



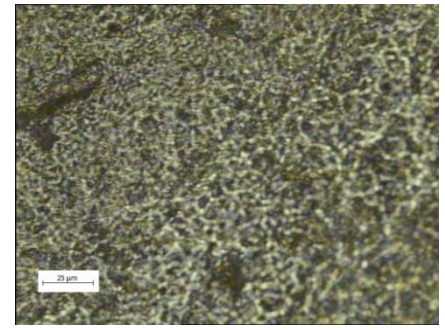
M-14



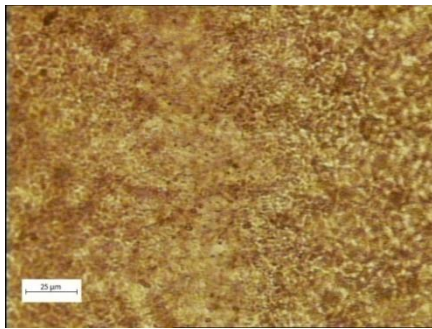
M-41



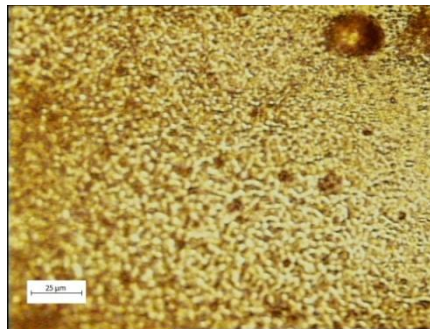
M-73



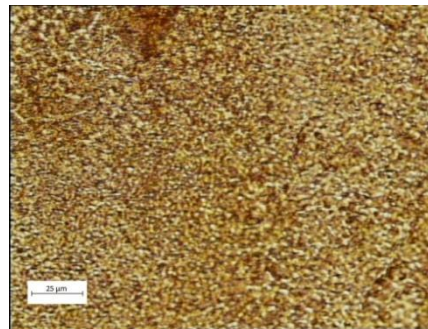
M-1N-0



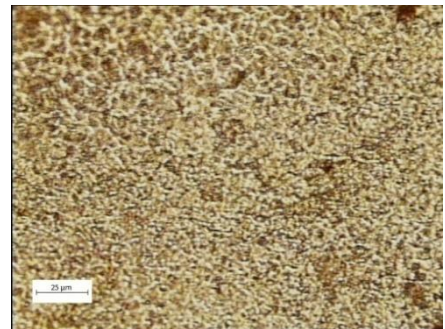
M-1N-14



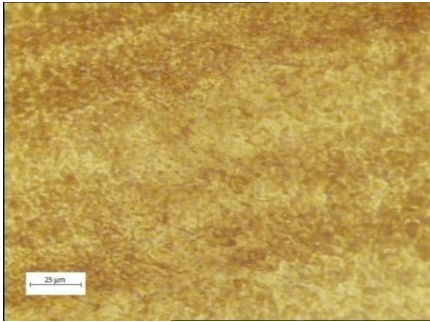
M-1N-41



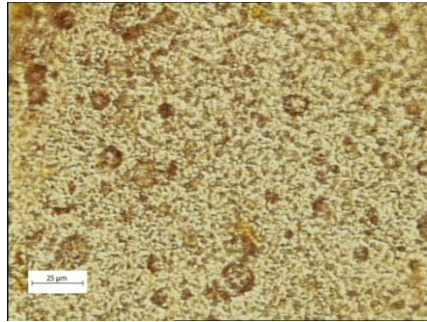
M-1N-73



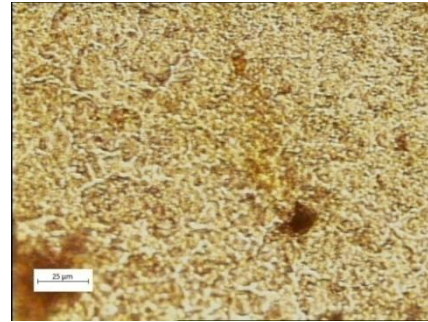
M-2N-0



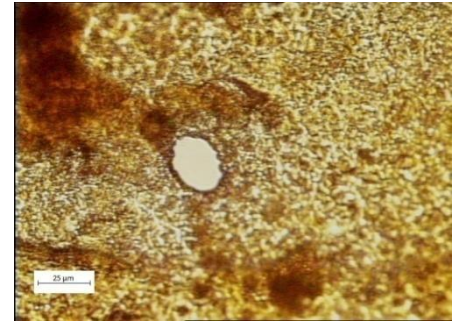
M-2N-14



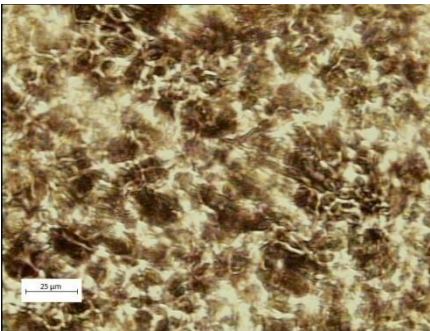
M-2N-41



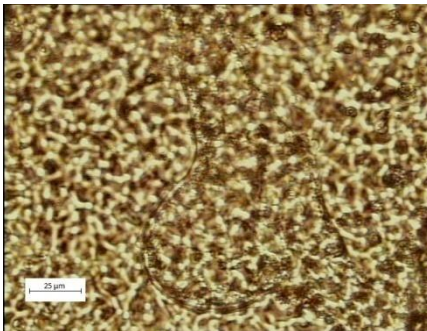
M-2N-73



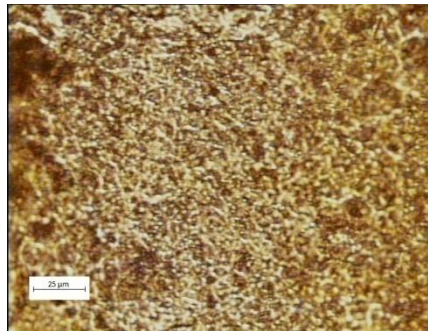
M-10-0



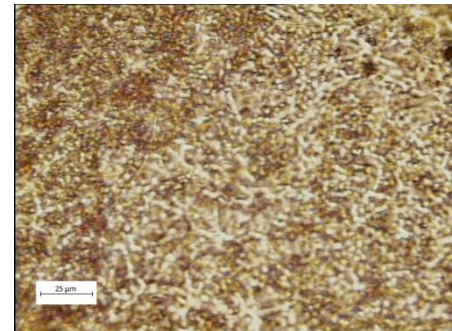
M-10-14



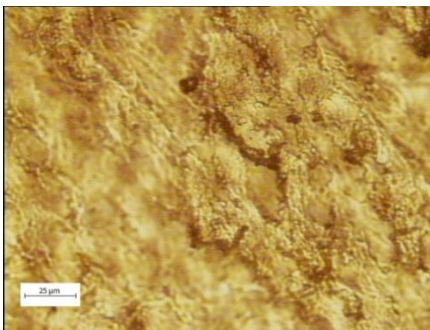
M-10-41



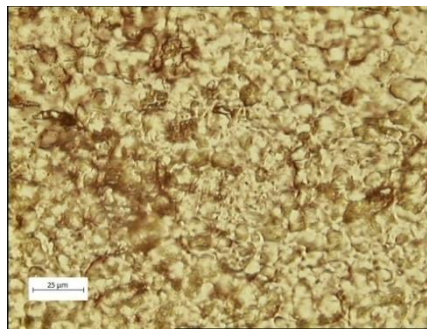
M-10-73



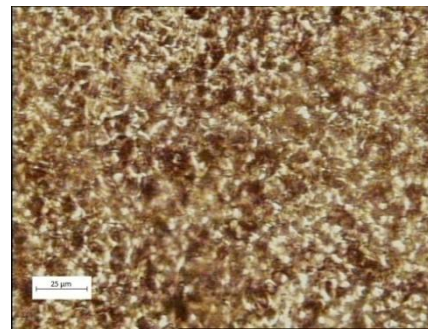
M-20-0



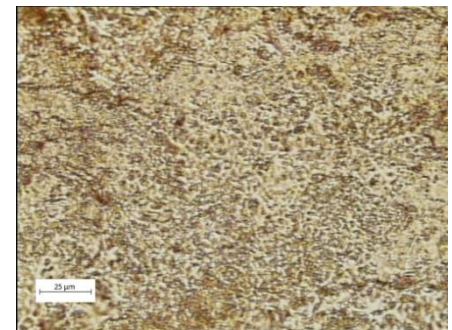
M-20-14



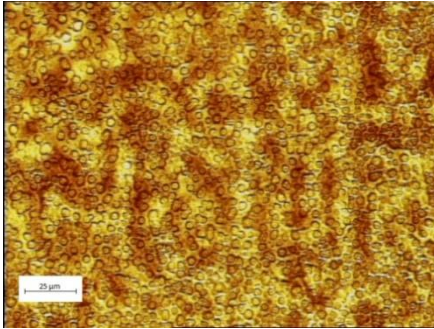
M-20-41



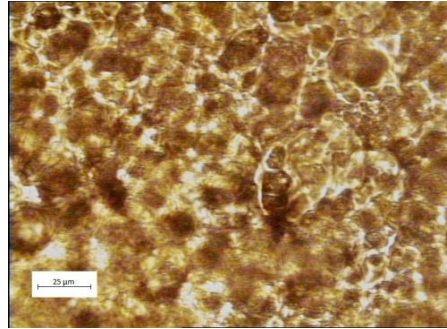
M-20-73



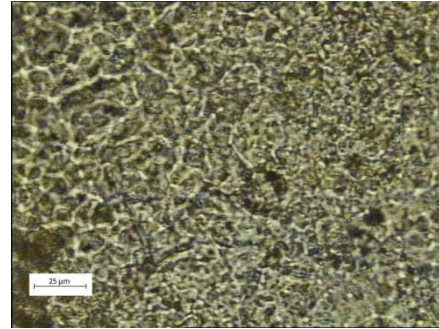
M-1 Ag-0



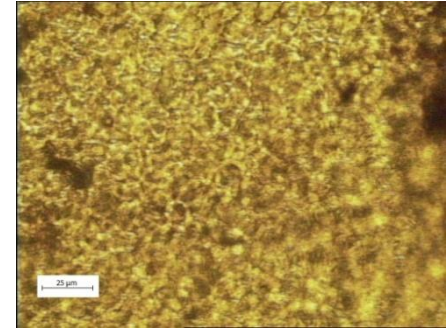
M-1 Ag-14



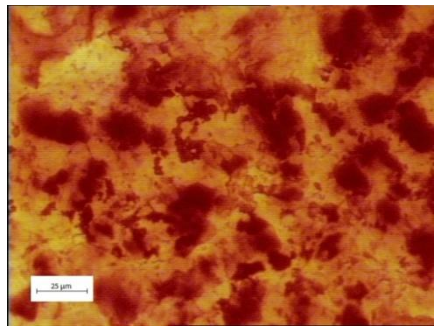
M-1 Ag-41



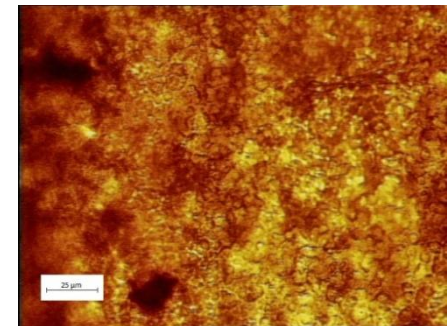
M-1 Ag-73



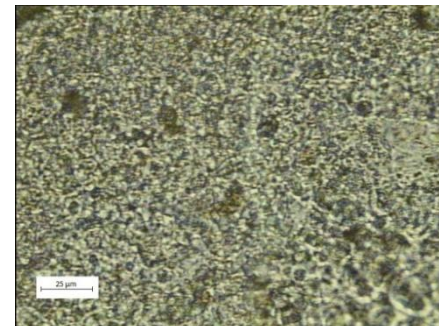
M-2 Ag-0



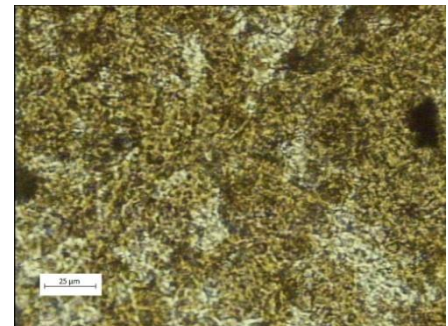
M-2 Ag-14



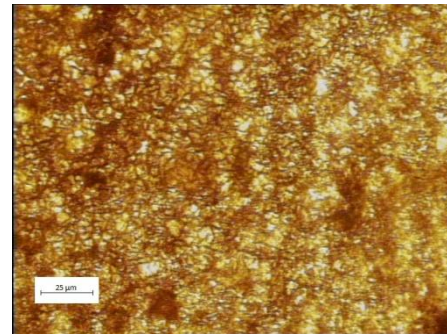
M-2 Ag-41



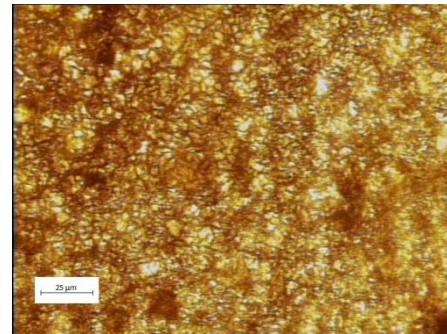
M-2 Ag-73



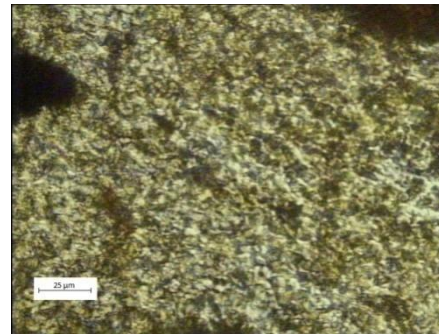
M-3 Ag-0



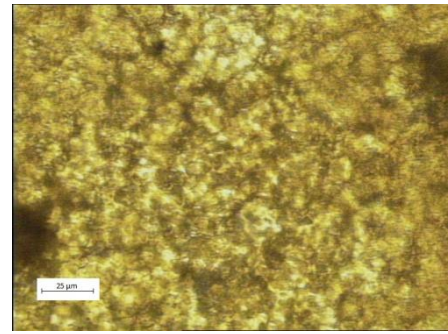
M-3 Ag-14



M-3 Ag-41



M-3 Ag-73

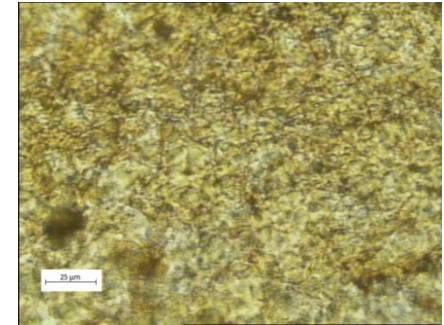
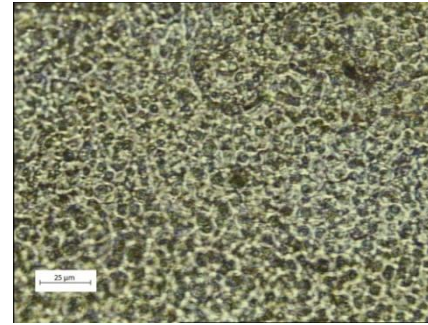
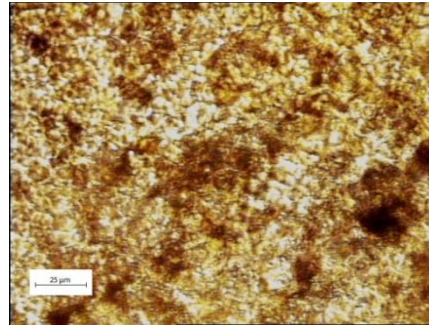


M-4 Ag-0

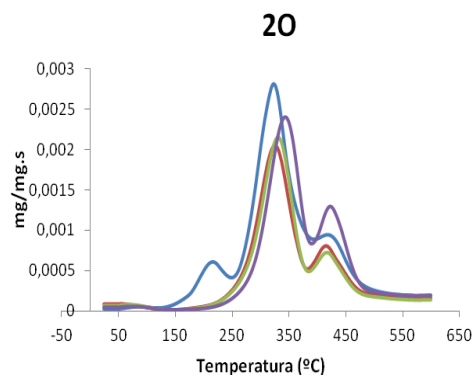
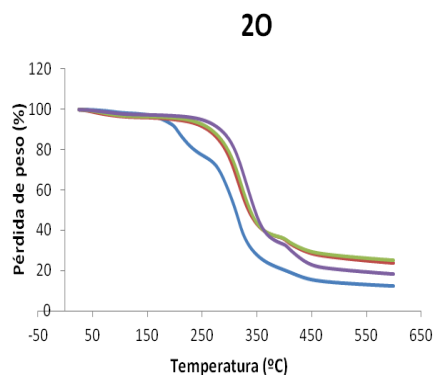
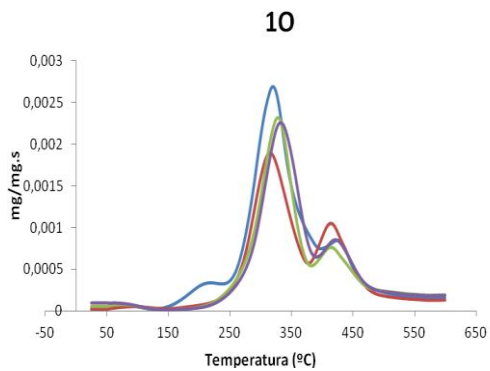
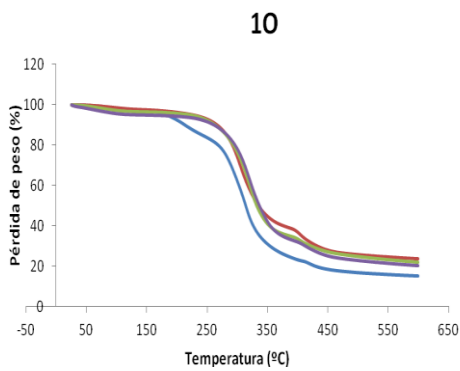
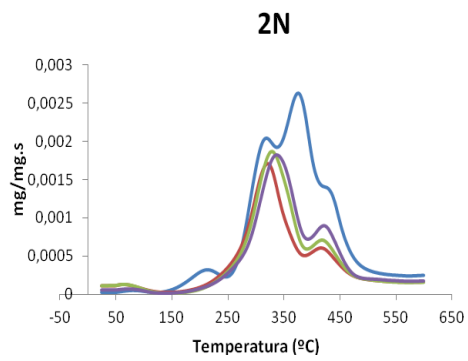
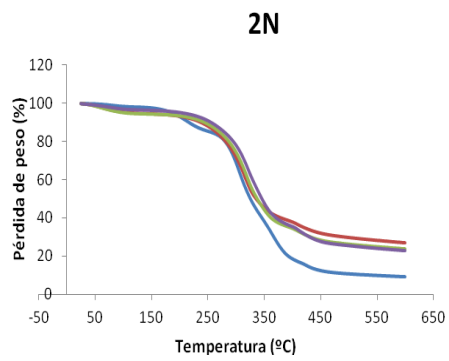
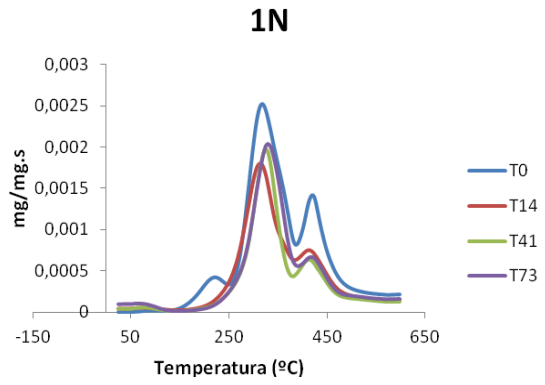
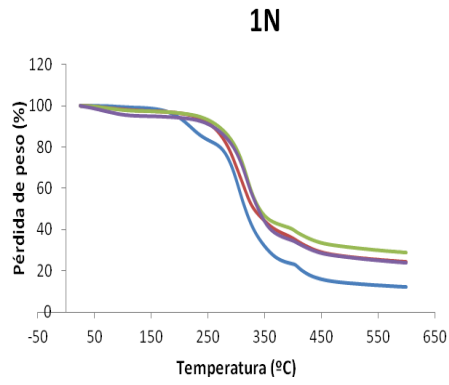
M-4 Ag-14

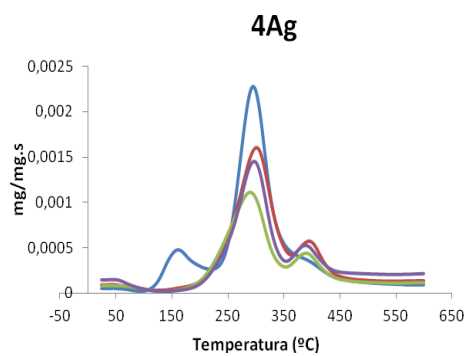
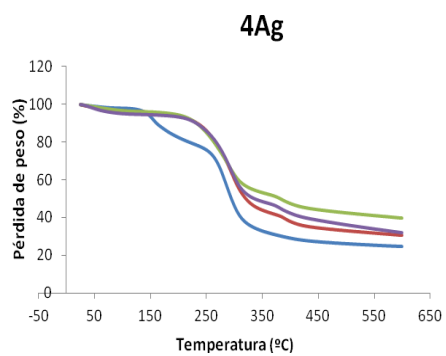
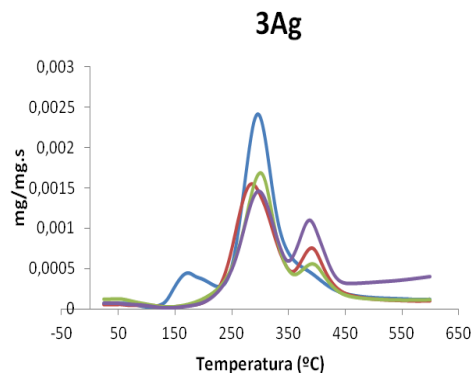
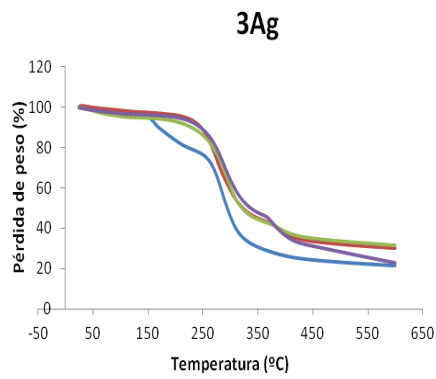
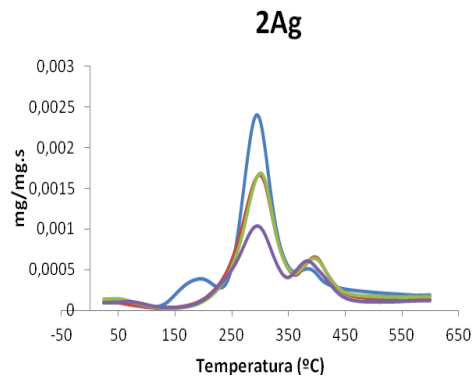
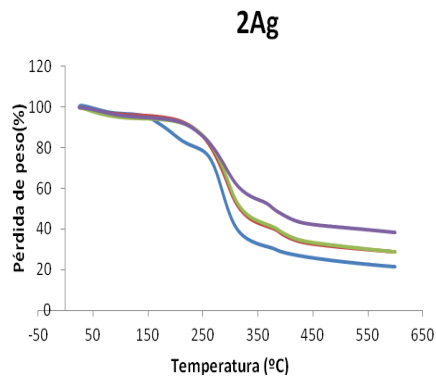
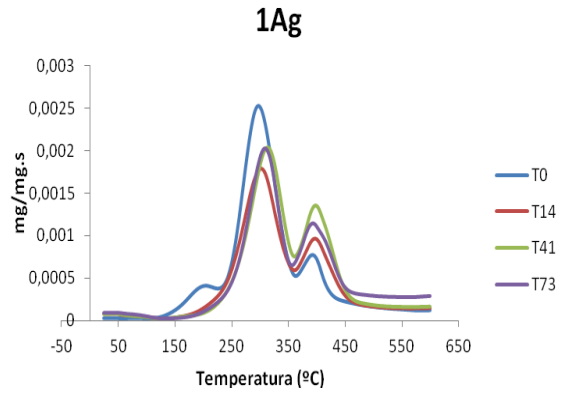
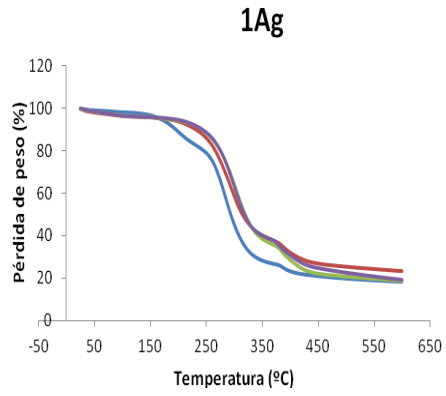
M-4 Ag-41

M-4 Ag-73



Imágenes a dos aumentos de las películas observadas mediante microscópio óptico.





Análisis termogravimétrico. Izquierda: curvas TG, derecha: curvas DTG de las películas que incorporan agentes antimicrobianos.